

1/33

1/33

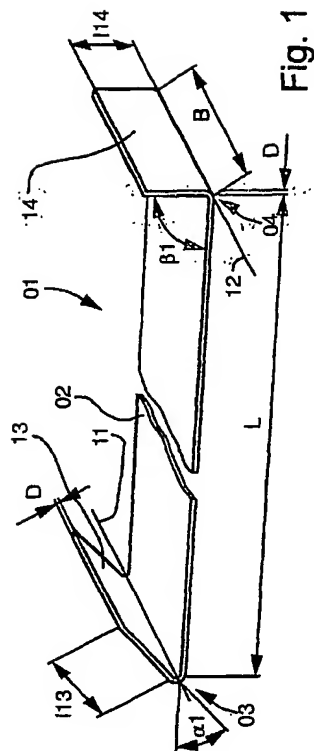


Fig. 4

Fig. 5

5/33

5/33

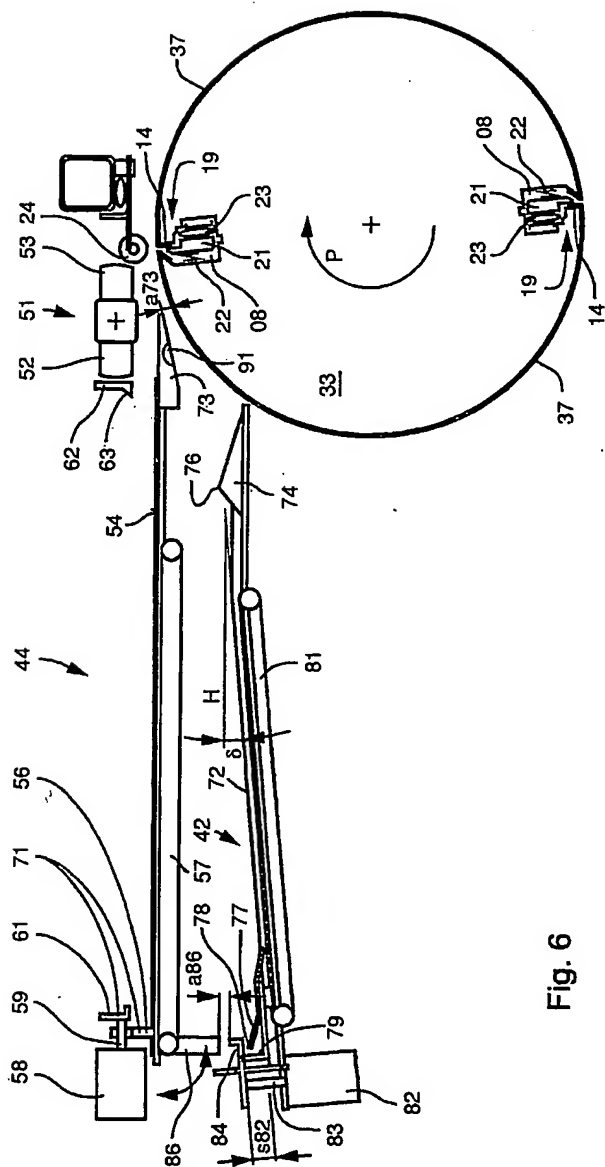


Fig. 6

6/33

6/33

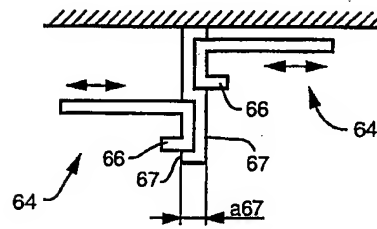


Fig. 7

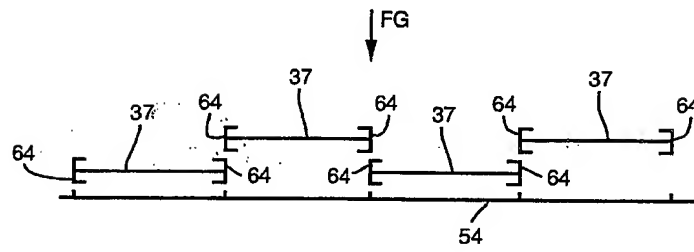


Fig. 8

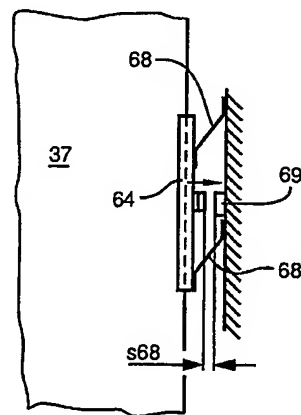


Fig. 9

7/33

7/33

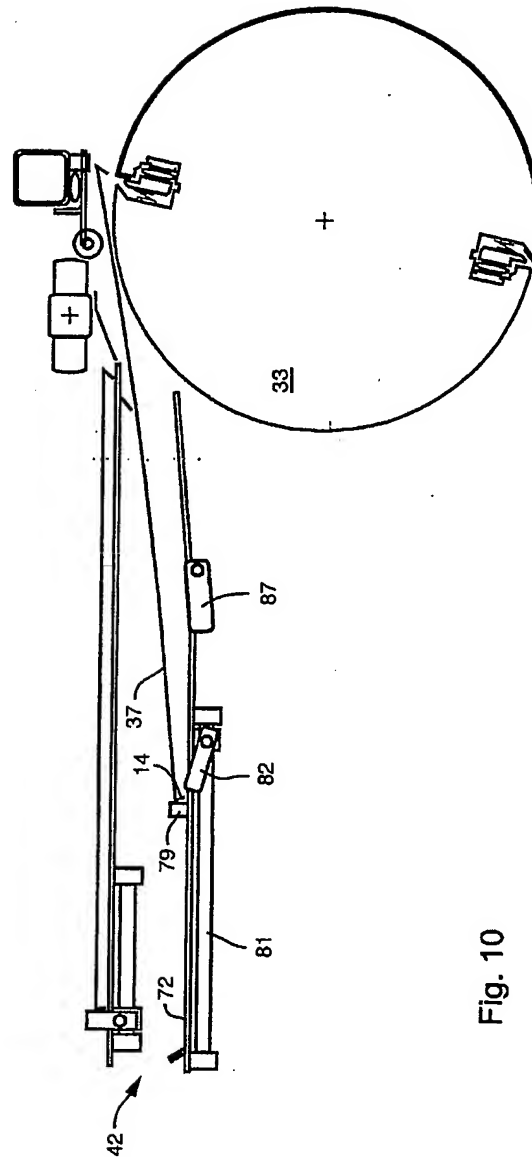


Fig. 10

8/33

8/33

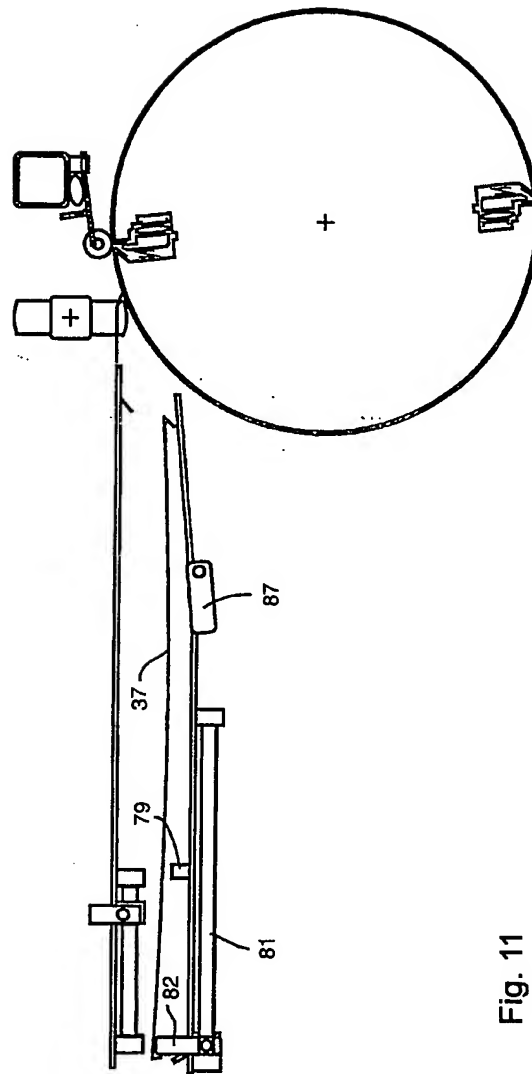


Fig. 11

9/33

9/33

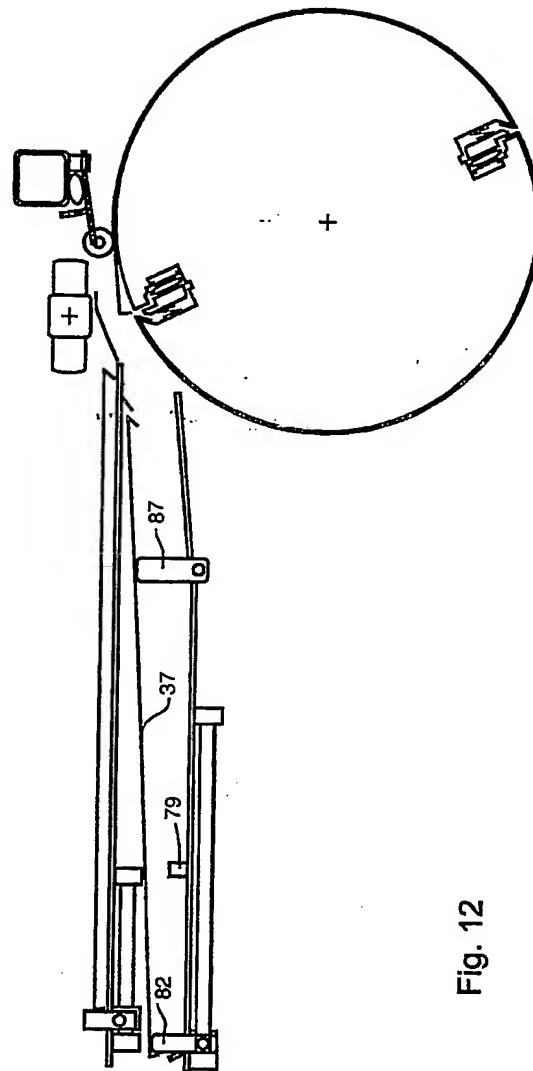


Fig. 12

10/33

10/33

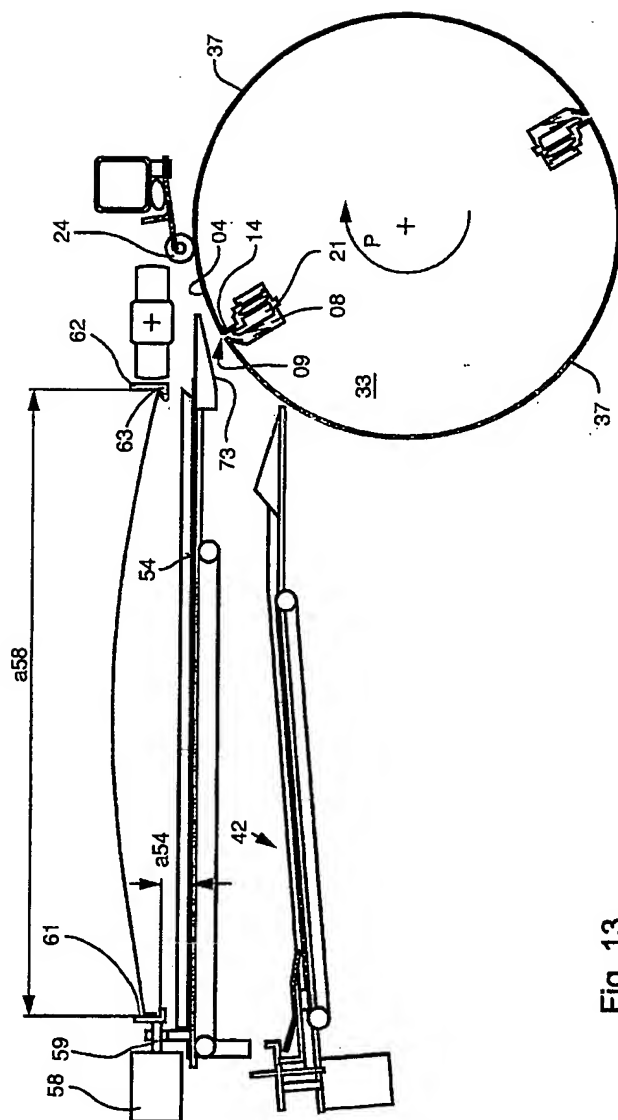


Fig. 13

12/33

12/33

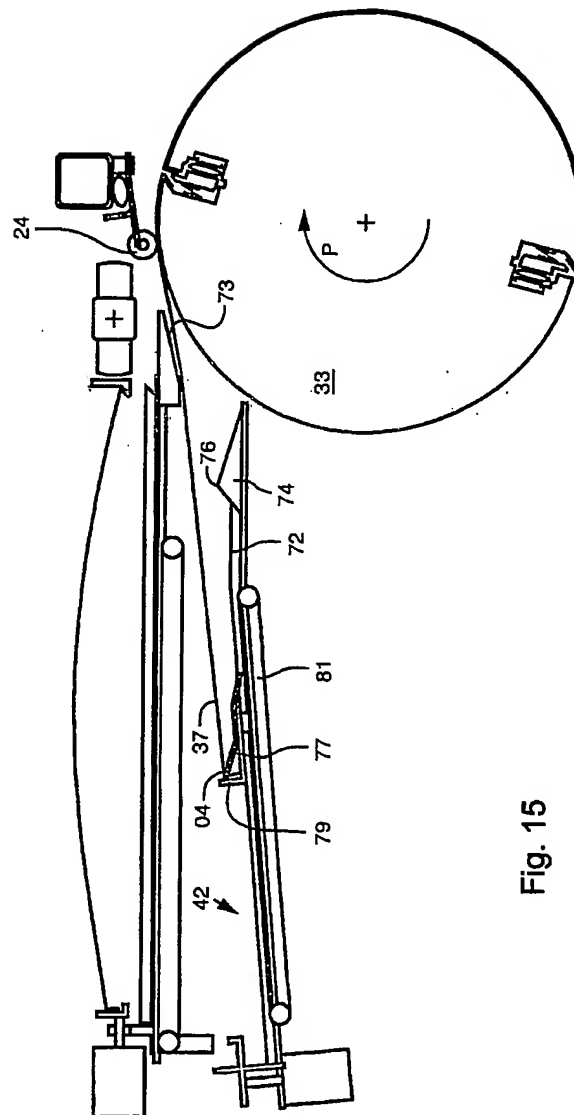


Fig. 15

13/33

13/33

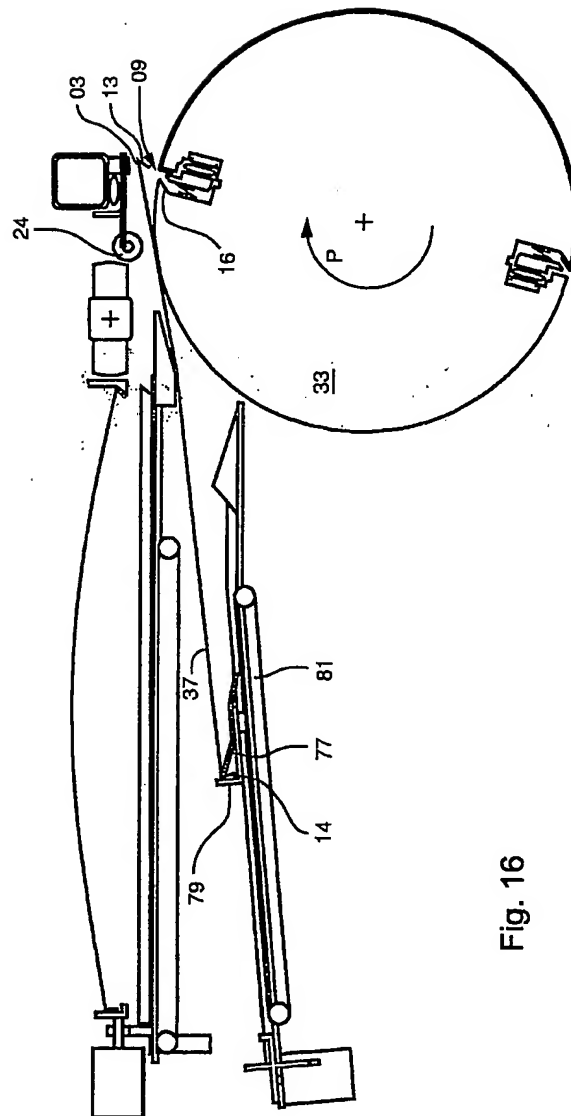


Fig. 16

14/33

14/33

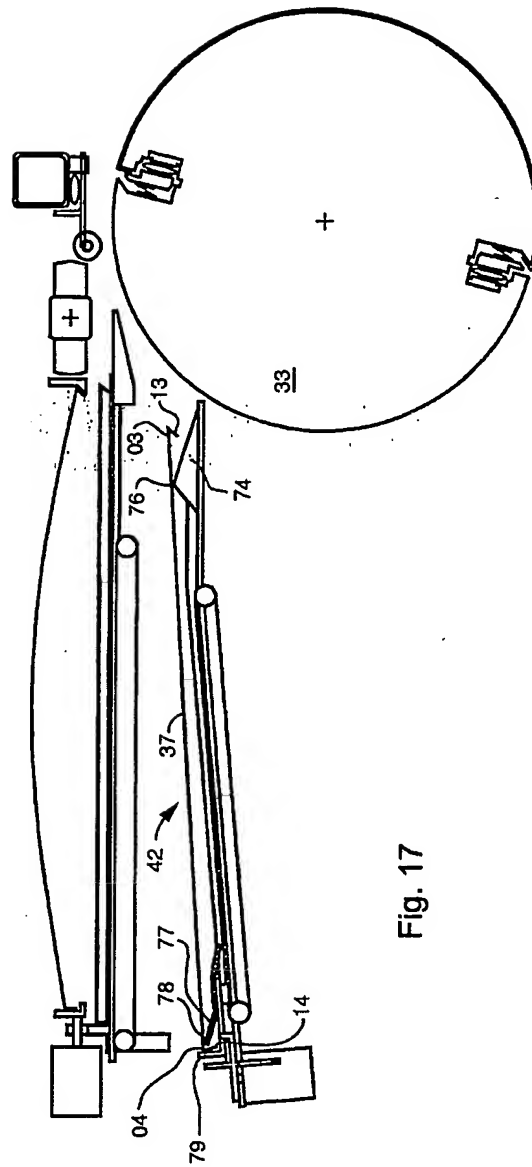


Fig. 17

15/33

15/33

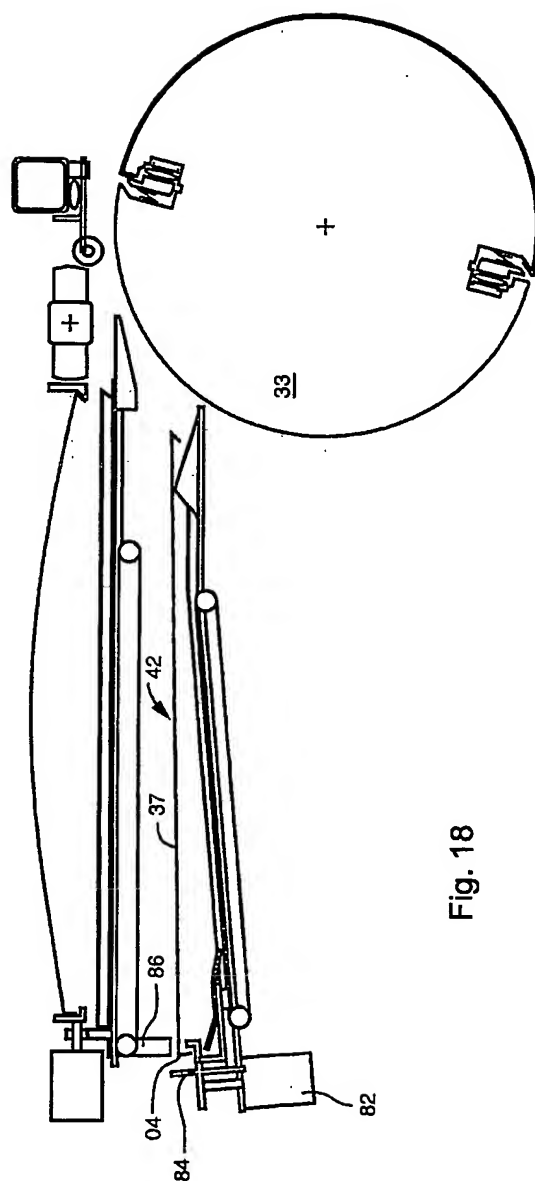


Fig. 18

16/33

16/33

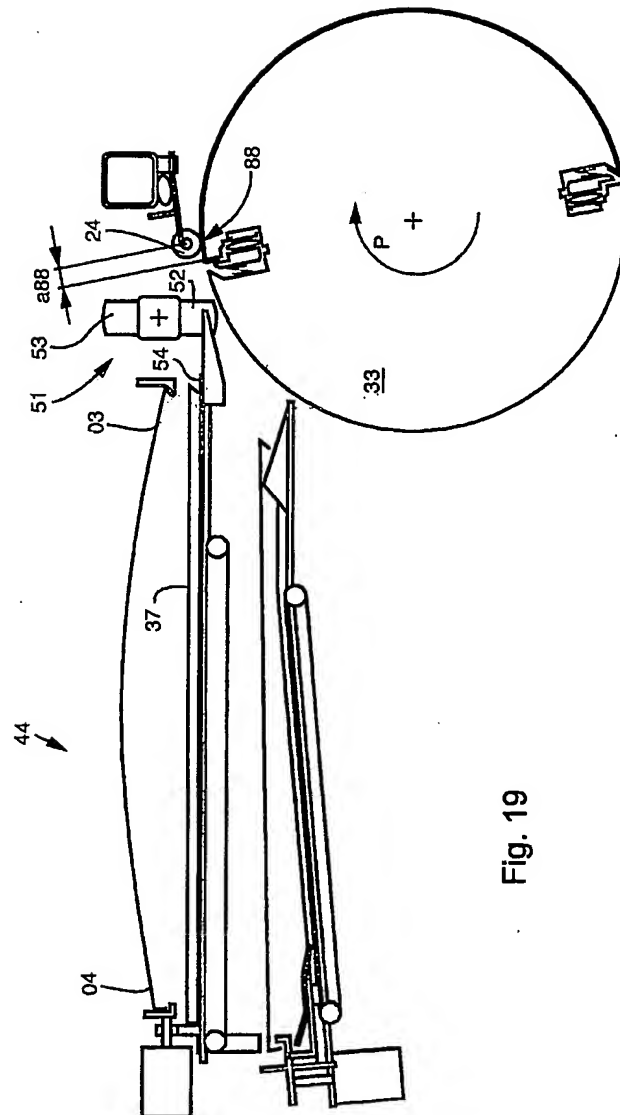


Fig. 19

17/33

17/33

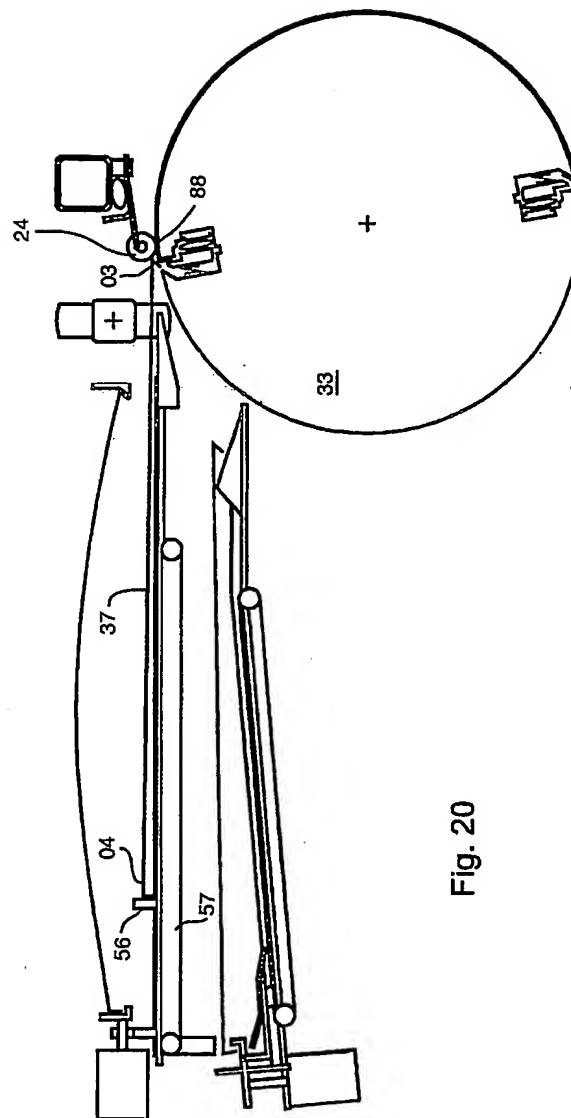


Fig. 20

18/33

18/33

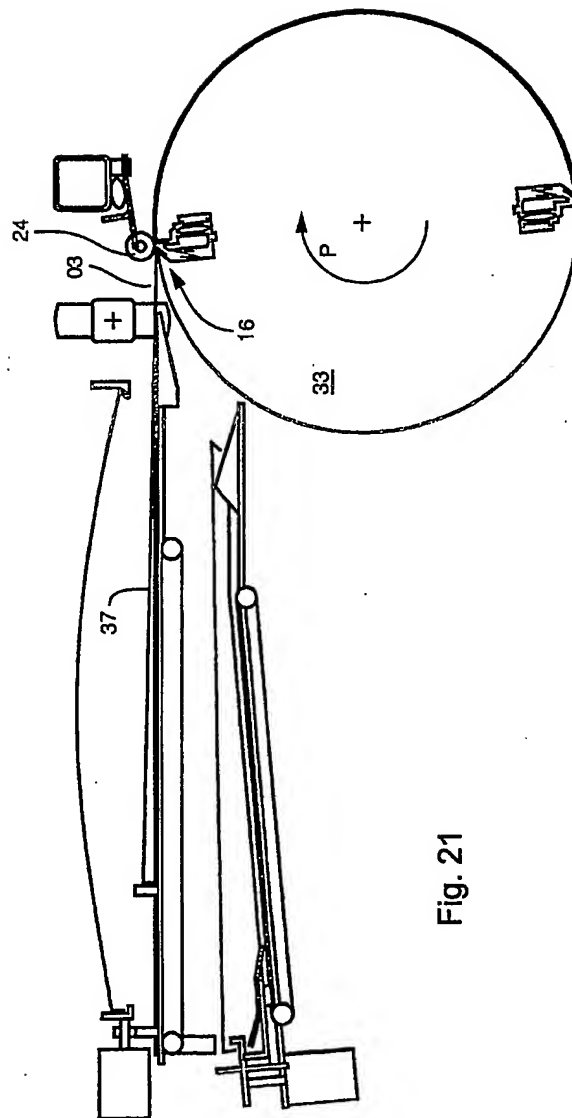


Fig. 21

19/33

19/33

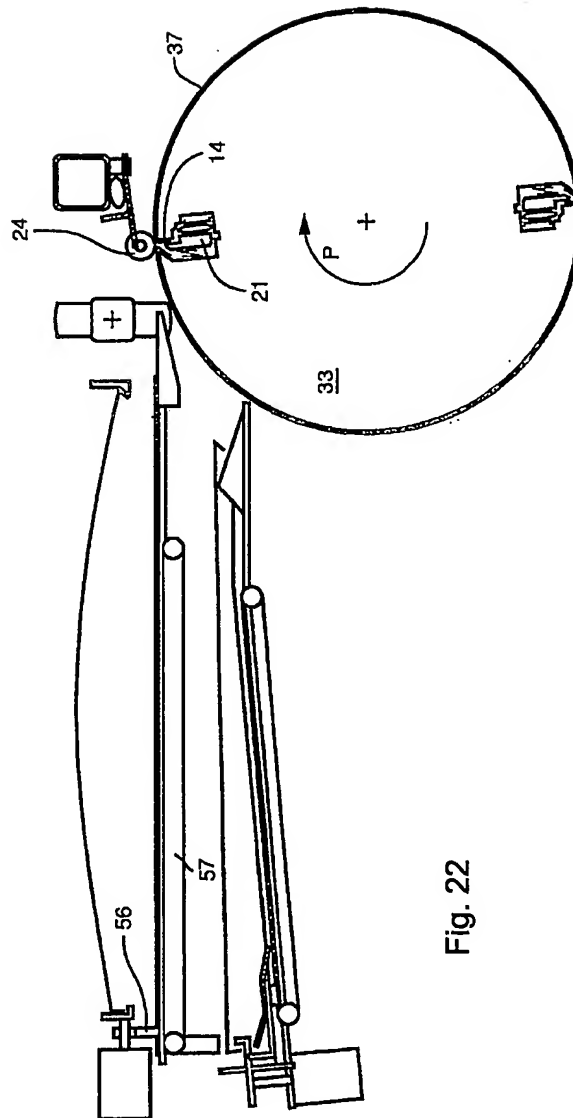


Fig. 22

20/33

20/33

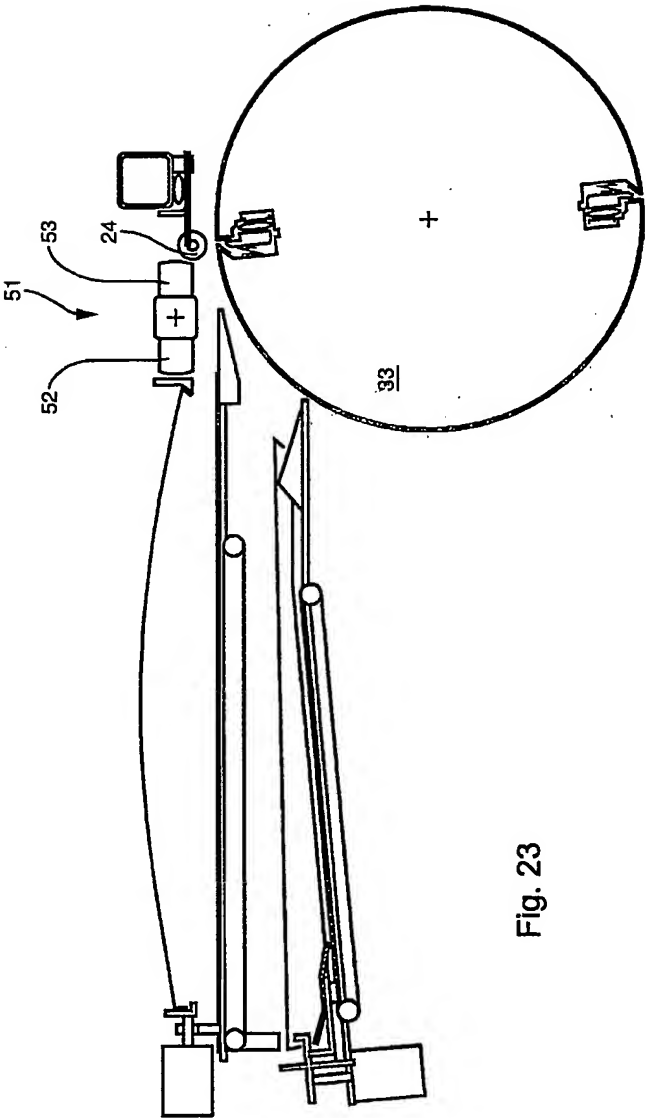


Fig. 23

21/33

21/33

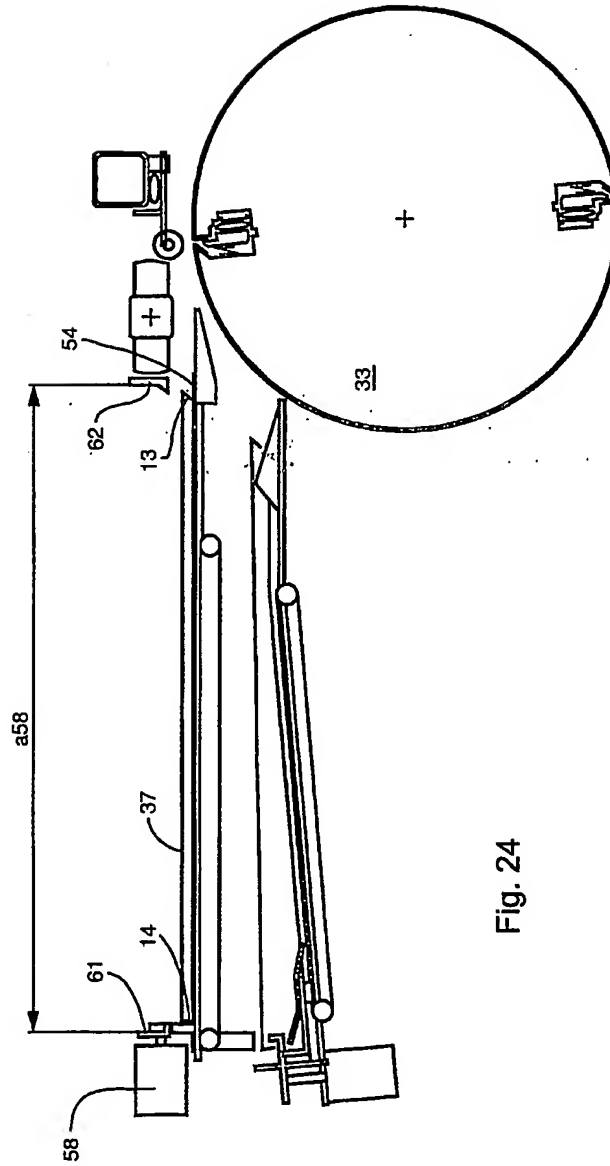


Fig. 24

22/33

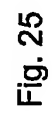


Fig. 25

23/33

23/33

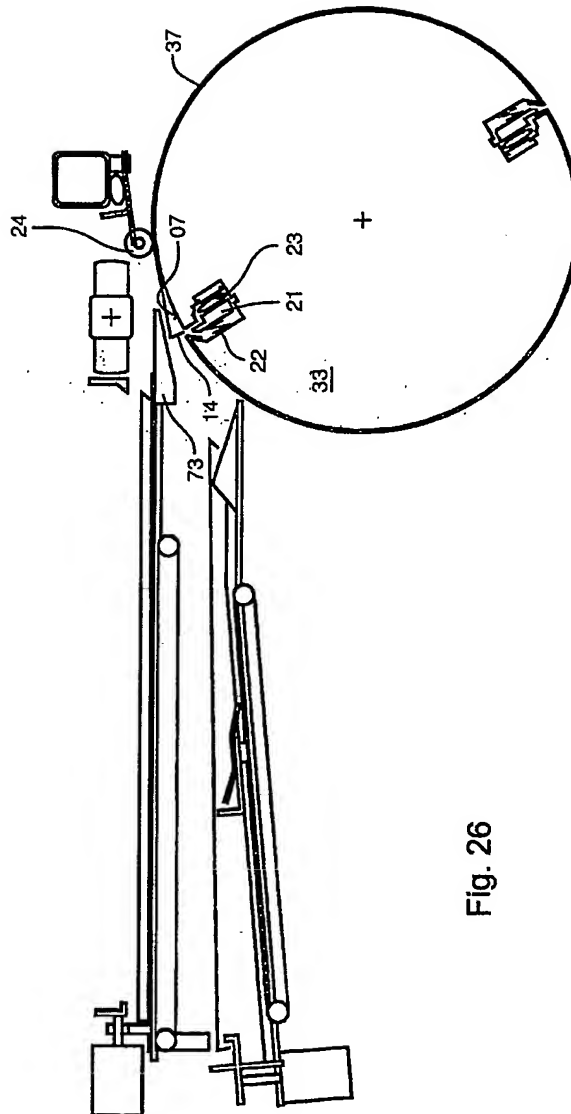


Fig. 26

Fig. 28

26/33

26/33

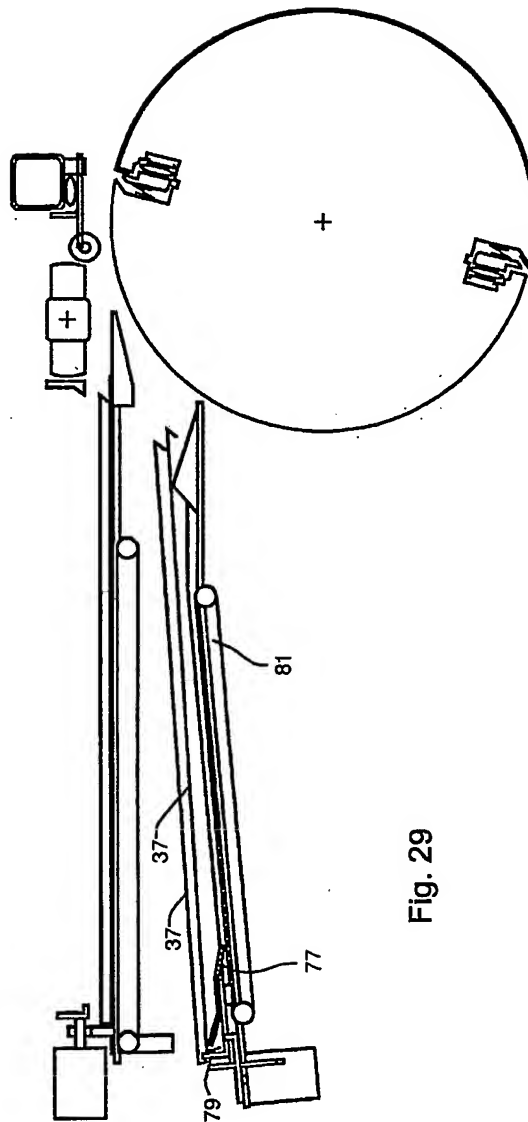


Fig. 29

27/33

27/33

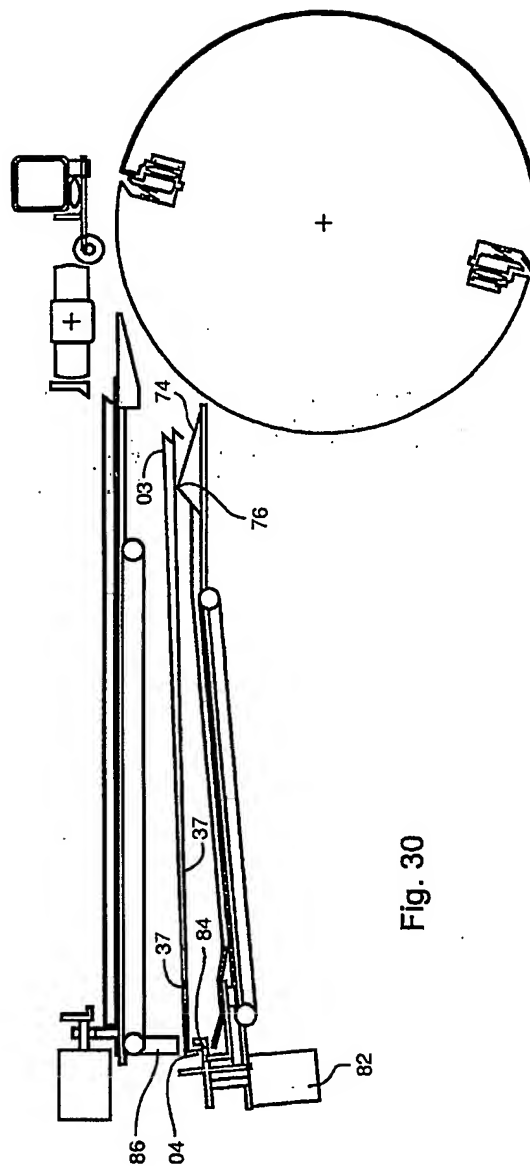


Fig. 30

28/33

28/33

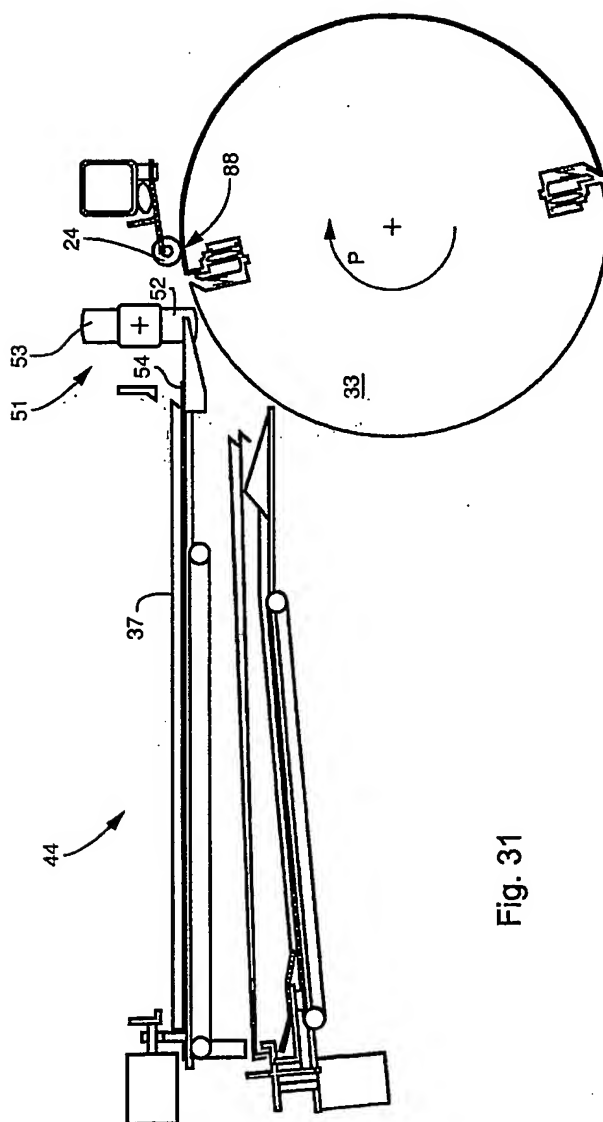


Fig. 32

30/33

30/33

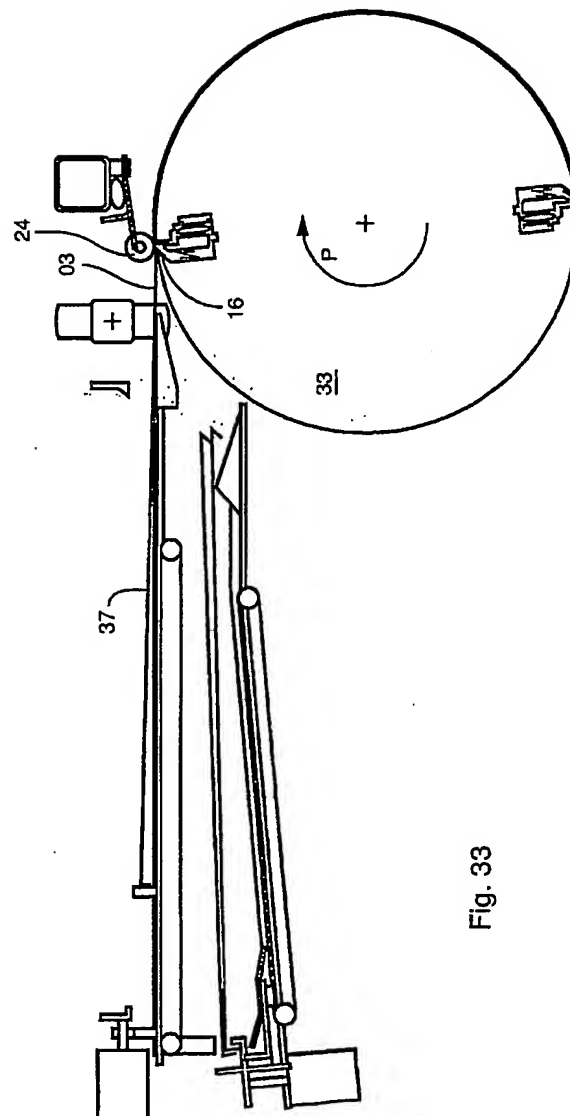


Fig. 33

31/33

31/33

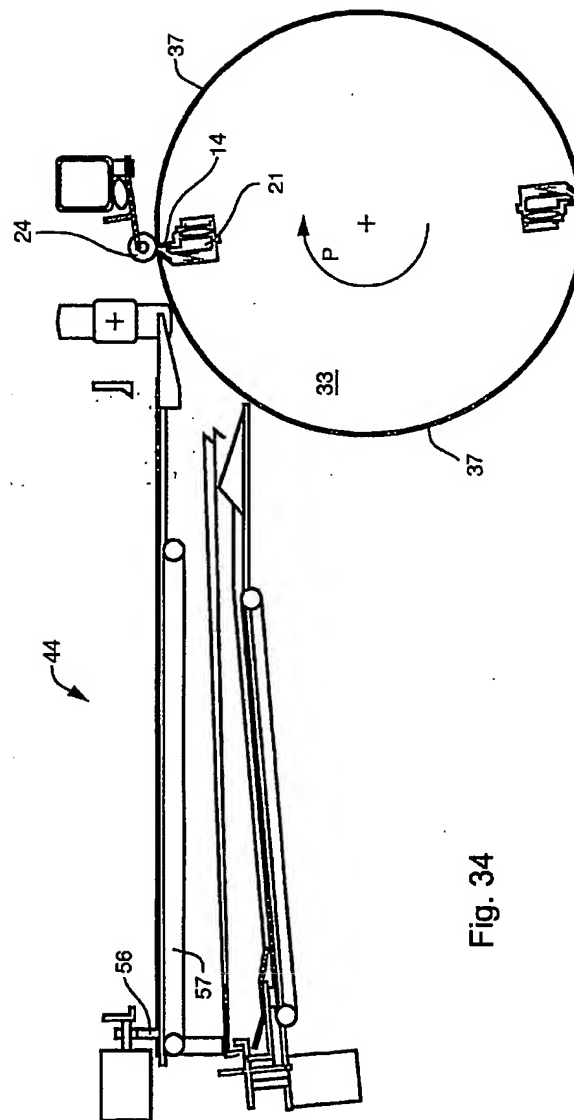


Fig. 34

32/33

32/33

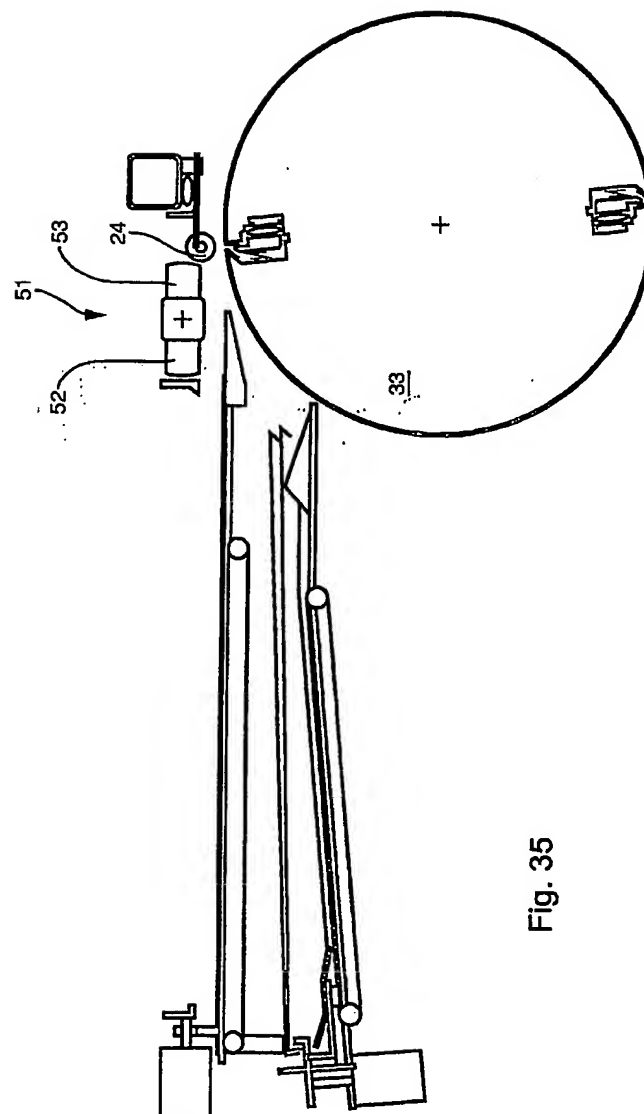


Fig. 35

33/33

33/33

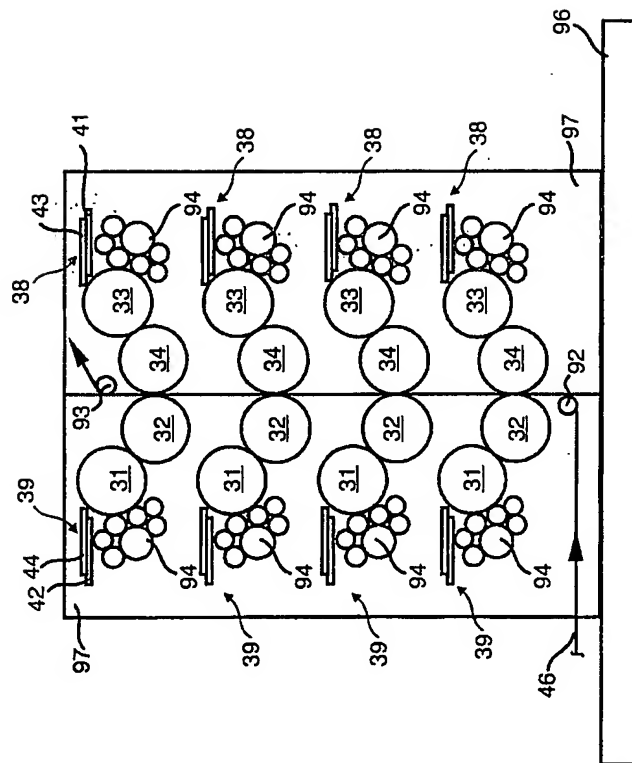


Fig. 36